

УДК 541.24:532.5

ОСРЕДНЕННОЕ ВЫРАЖЕНИЕ ДЛЯ ВЕКТОРА ОБЪЕМНОЙ ПЛОТНОСТИ КАПИЛЛЯРНОЙ СИЛЫ В СПЕКАЕМОЙ ПОРОШКОВОЙ СМЕСИ

В. П. Бушланов

Томский филиал Института структурной макрокинетики РАН, 634021 Томск

Дополнительным пространственным осреднением известного выражения для объемной плотности поверхностной силы в среде с развитой межфазной поверхностью получено удобное для практического использования выражение для этой силы в виде дивергенции удвоенного тензора плотности поверхностной энергии.

При горячем прессовании порошков, а также при их свободном спекании частицы порошка плавятся, что приводит к образованию в таких средах развитой межфазной поверхности, подверженной действию сил поверхностного натяжения [1]. В этом случае на поверхностях частиц действует значительное капиллярное давление, пропорциональное $2\Sigma/r$, где Σ — коэффициент поверхностного натяжения; r — радиус кривизны. Рассмотрим суммарное воздействие капиллярных сил в процессах горячего прессования и спекания в рамках физической модели и полной системы осредненных уравнений механики гетерогенных сред [2]. Осредненная объемная плотность поверхностной силы \mathbf{P}_Σ в осредненном уравнении импульса для межфазной границы имеет вид (см. [2], формулы (2.2.33), (2.3.2))

$$\mathbf{P}_\Sigma = s_{12} \left\langle \frac{1}{\delta' S_{12}} \int_{\delta' L} \Sigma' d'l \right\rangle_{12}, \quad (1)$$

где

$$\Sigma' = \Sigma \boldsymbol{\tau}_{12}, \quad (2)$$

s_{12} — площадь межфазной поверхности в единице объема; $\delta' L$ — межфазная граница в объеме осреднения dV , ограничивающая площади элементов, составляющих межфазную поверхность $\delta' S_{12}$, содержащуюся в объеме dV ; $d'l$ — элемент длины границы $\delta' L$; $\langle \cdot \rangle_{12}$ — осреднение по всей межфазной поверхности, содержащейся в объеме dV ; $\boldsymbol{\tau}_{12}$ — единичный вектор, касательный к межфазной поверхности:

$$\boldsymbol{\tau}_{12} = \mathbf{l} \times \mathbf{n}, \quad (3)$$

где \mathbf{n} — единичный вектор нормали к межфазной поверхности; \mathbf{l} — единичный вектор, касательный к межфазной границе $\delta' L$. Ниже путем дополнительного пространственного осреднения (1) в рамках физической модели [2] получено выражение $\langle \mathbf{P}_\Sigma \rangle$, удобное для приложений.

Проведем осреднение (1) следующим образом. Пусть dV_1 — куб со стороной Δ . Выберем следующие $N - 1$ кубов dV_m ($m = 2, 3, \dots, N$) таким образом, чтобы каждый $(m + 1)$ -й куб содержал m -й куб, а расстояние между поверхностями соседних кубов было равно $\delta \ll \Delta$. На рис. 1 изображены границы граней кубов dV_m (сплошная линия) и dV_{m+1}

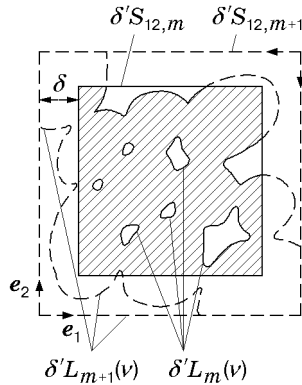


Рис. 1

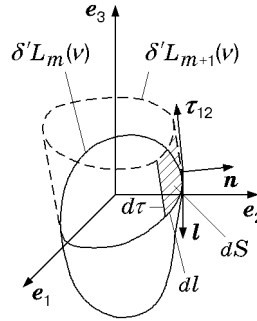


Рис. 2

(штриховая линия), перпендикулярные единичному вектору системы координат \mathbf{e}_3 , заштрихованные области являются пересечением грани куба dV_m с расплавленными частицами порошка, содержащимися в его объеме. Запишем осреднение (1) в виде

$$\begin{aligned} \langle \mathbf{P}_\Sigma \rangle &= \frac{1}{N} \sum_{m=1}^N \frac{1}{dV_m} \oint_{dV_m} \mathbf{P}_\Sigma dV = \frac{1}{N} \sum_{m=1}^N s_{12} \left\langle \frac{1}{\delta' S_{12,m}} \oint_{\delta' L_m} \Sigma' d'l \right\rangle_{12} = \\ &= \frac{1}{N} \sum_{m=1}^N \frac{1}{dV_m} \sum_{\nu} \oint_{\delta' L_m(\nu)} \Sigma' d'l, \end{aligned} \quad (4)$$

где $\delta' S_{12,m}$ — величина межфазной поверхности в объеме dV_m . Как и в [2], суммирование проводится по всем ν -м границам $\delta' L_m(\nu)$, лежащим только на гранях кубов dV_m и являющимся линиями пересечений указанных граней с межфазной поверхностью. Интегралы по частям контуров $\delta' L_m(\nu)$, являющихся общими границами односвязных поверхностей многосвязной межфазной поверхности внутри объемов dV_m , при суммировании уничтожаются, так как единичные векторы $\boldsymbol{\tau}_{12}$ смежных поверхностей противоположны по направлению. Пусть

$$a = \delta N, \quad (5)$$

где $\delta \ll a \ll \Delta$. Из (2)–(5) имеем

$$\langle \mathbf{P}_\Sigma \rangle_i = \frac{1}{a} \sum_{m=1}^N \frac{1}{dV_m} \sum_{\nu} \delta \oint_{\delta' L_m(\nu)} \Sigma (\boldsymbol{\tau}_{12} \cdot \mathbf{e}_i) d'l, \quad (6)$$

где \mathbf{e}_i — единичный вектор ортогональной системы координат; $\langle \mathbf{P}_\Sigma \rangle_i$ — i -я компонента осредненной плотности капиллярной силы (4). Пусть индекс g обозначает грань куба, нормалью к которой является \mathbf{e}_g . Имеем

$$\delta = |\tau_g| d\tau, \quad (7)$$

где $\tau_g = \boldsymbol{\tau}_{12} \cdot \mathbf{e}_g$; $d\tau$ — расстояние, отсчитываемое вдоль межфазной поверхности в направлении $\boldsymbol{\tau}_{12}$. На рис. 2 изображен фрагмент частицы порошка, содержащийся в кубе dV_m (сплошная линия), и фрагмент этой частицы, содержащийся между перпендикулярными \mathbf{e}_3 гранями кубов dV_m и dV_{m+1} (штриховая линия). Так как на грани куба $\mathbf{l} \cdot \mathbf{e}_g = 0$, то вектор \mathbf{e}_g можно разложить только по векторам \mathbf{n} и $\boldsymbol{\tau}_{12}$:

$$\mathbf{e}_g = n_g \mathbf{n} + \tau_g \boldsymbol{\tau}_{12}, \quad (8)$$

где $n_g = \mathbf{n} \cdot \mathbf{e}_g$. Умножая (8) скалярно на \mathbf{e}_i , получим

$$\tau_i \tau_g = \delta_{ig} - n_i n_g, \quad (9)$$

где δ_{ig} — символ Кронекера. Заменяя в (6) dV_m на dV_1 , с погрешностью порядка $a/\Delta \ll 1$ из (6), (7), (9) получим

$$\langle \mathbf{P}_\Sigma \rangle_i = \frac{1}{a} \sum_{g=1}^3 \frac{\Sigma}{dV_1} \left[\oint_{S_{12,g}^+} (\delta_{ig} - n_i n_g) d'S - \oint_{S_{12,g}^-} (\delta_{ig} - n_i n_g) d'S \right], \quad (10)$$

где $dS' = dl d\tau$; $S_{12,g}^+$, $S_{12,g}^-$ ($g = 1, 2, 3$) — межфазные поверхности, содержащиеся в объемах усеченных пирамид, основаниями которых являются параллельные грани кубов dV_1 и dV_N (знак “+” соответствует усеченным пирамидам, построенным на гранях указанных кубов, имеющих положительные координаты относительно центра куба dV_1). При выводе (10) учтено, что для усеченных пирамид со знаком “+” $\delta = \tau_g d\tau$, а для усеченных пирамид со знаком “-” $\delta = -\tau_g d\tau$.

Пусть

$$T_{ig} = \frac{\Sigma}{2dV} \oint_{dS_{12}} (\delta_{ig} - n_i n_g) d'S, \quad (11)$$

где T_{ig} — тензор объемной плотности поверхностной энергии (тензор поверхностной энергии впервые введен в [3]).

Так как из (11) $T_{gg} = \Sigma s_{12}$, то след тензора объемной плотности поверхностной энергии равен объемной плотности поверхностной энергии.

Используя (11), разложим (10) в ряд по степеням Δ , отбрасывая члены порядка Δ^2 и учитывая, что объемы усеченных пирамид равны приближенно $a\Delta^2$. Получим

$$\langle \mathbf{P}_\Sigma \rangle_i = 2 \sum_{g=1}^3 \frac{T_{ig}(t, \mathbf{x} + \mathbf{e}_g \Delta/2) - T_{ig}(t, \mathbf{x} - \mathbf{e}_g \Delta/2)}{\Delta} = 2 \frac{\partial T_{ig}}{\partial x_g}, \quad (12)$$

где t — время; \mathbf{x} — координаты центра куба dV_1 ; $\mathbf{x} \pm \mathbf{e}_g \Delta/2$ — координаты граней куба dV_1 .

По аналогии с записью дифференциальных уравнений движения в моделях сплошной среды с использованием дивергенции тензора напряжений и в соответствии с (12) тензор $2T_{ig}$ можно назвать тензором капиллярных напряжений.

ЛИТЕРАТУРА

1. Бальшин М. Ю., Кипарисов С. С. Основы порошковой металлургии. М.: Металлургия, 1978.
2. Нигматулин Р. И. Основы механики гетерогенных сред. М.: Наука, 1978.
3. Chandrasekhar S. The stability of a rotating liquid drop // Proc. Roy. Soc. London. 1965. V. A286, N 1404. P. 1-26.

Поступила в редакцию 25/V 1998 г.,
в окончательном варианте — 9/VII 1999 г.